

## استفاده از شاخص دما در پیش‌بینی سفید شدگی جوامع مرجانی نواحی جنوبی و شمالی خلیج فارس

خاطره ازدری معموره، مرکز تحقیقات گردشگری، واحد نجف آباد، دانشگاه آزاد اسلامی، نجف آباد، ایران.  
امیر گندمکار<sup>۱</sup>، استادیار مرکز تحقیقات گردشگری، واحد نجف آباد، دانشگاه آزاد اسلامی، نجف آباد، ایران.  
کیوان کبیری، استادیار گروه سنجش از دور، پژوهشگاه ملی اقیانوس شناسی و علوم جوی تهران، ایران.

پذیرش نهایی: ۱۳۹۷/۰۶/۱۸

دریافت مقاله: ۱۳۹۶/۱۲/۱۲

### چکیده

دمای سطح دریا یکی از مؤثرترین پارامترهای فیزیکی است که سلامت گروه‌های آبسنگ‌های مرجانی را تحت تأثیر قرار می‌دهد. پدیده سفید شدگی مرجان‌ها (bleaching) به دلیل افزایش در مقادیر دما و تغییرات افزایشی در دمای سطح دریا (SST) در سال‌های اخیر به‌طور گسترده در خلیج فارس اتفاق افتاده و باعث مرگ‌ومیر بسیاری در جوامع مرجانی شده است. اطلاعات دمای سطح دریا نشان دهنده یک ارتباط تنگاتنگ و قطعی بین مقادیر SST و سفید شدن آبسنگ‌های مرجانی می‌باشد. هدف از این پژوهش تعیین یک آستانه دمایی است که می‌تواند به‌عنوان یک اخطار و هشدار برای پیش‌بینی وقوع این پدیده باشد. داده‌های مربوط به مقادیر دمای هفتگی سطح دریا (SST) با تفکیک مکانی (۱°\*۱°) که در این مطالعه استفاده شده است از سازمان ملی اقیانوسی جوی NOAA و برای یک دوره آماری ۳۵ ساله (۲۰۱۵-۱۹۸۰) استخراج شده است و سپس شاخص درجه گرمای هفتگی (DHW) نیز برای همان دوره آماری به‌دست آمده که به کمک آن و همچنین وقایع سفید شدگی ثبت شده، اقدام به تعیین آستانه‌ای برای درجه گرمای هفتگی شد. که به کمک آن بتوان پدیده "سفید شدگی" را پیش‌بینی کرد. برای ارزیابی نتایج و بررسی دقت و صحت روش‌شناسی بکار رفته از تکنیک مهارت پیرس (PSS) در قالب اعداد نشان داده شد. این روش به ما این امکان را می‌دهد تا کیفیت پیش‌بینی‌های بعدی یا پس‌بینی‌های قبلی خود را در قالب اعداد نشان دهد. طبق نتایج به‌دست آمده آستانه دمای هفتگی (DHW) برای منطقه مورد مطالعه ۷.۱۳ مشخص شد. که به‌عنوان هشدار برای پیش‌بینی سفید شدن مرجان‌های منطقه مورد مطالعه است. مقدار PSS (تکنیک مهارت پیرس) هم ۰.۷۲ حاصل شد. که حاکی از مقاومت مرجان‌های جنوب خلیج فارس در برابر بی‌نظمی‌های دمای سطح دریا SST در مقایسه با نواحی شمالی خلیج فارس است.

واژگان کلیدی: آبسنگ مرجانی، سفید شدگی، آستانه، خلیج فارس، SST.

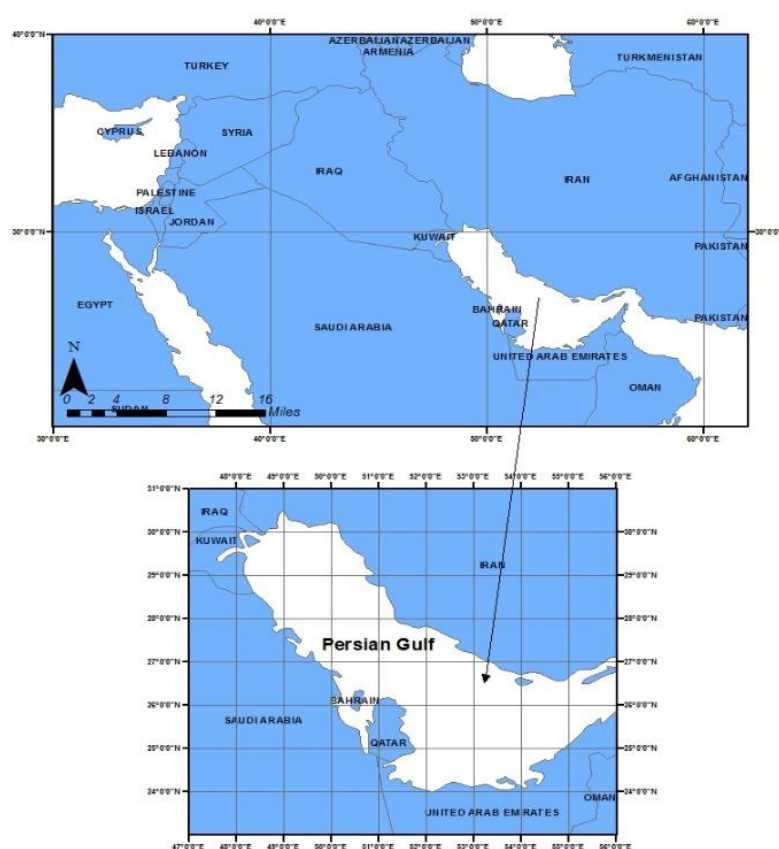
## مقدمه

سفید شدن یک واکنش در برابر فشارهایی است که می‌توان به‌وسیله دمای زیاد، نور شدید، تغییرات در شوری با سایر فشارهای فیزیکی و شیمیایی ایجاد شود. (Fitt et al., 2001). سفید شدگی و رنگ‌باختگی مرجان‌ها، فقدان و کمبود جلبک‌های همزیستانه زوگزانتلا *Zooxanthellae* و یا رنگ‌دانه‌های فتوسنتزی آن‌ها توسط سازندگان آبسنگ‌های زوگزانتلایی است که تهدید اصلی و عمده‌ای برای آبسنگ‌های مرجانی سرتاسر جهان محسوب می‌شود (Lesser, 2011). سفید شدن حالت شدیدی از تغییرات طبیعی در تراکم جلبک‌های همزیست با مرجان می‌باشد (Fitt et al., 2001). مرجان‌های رنگ‌باخته و سفید شده چون همزیست خود را از دست می‌دهند در برابر میزان فزاینده بیماری و مرگ‌ومیر آسیب‌پذیرتر می‌شوند (pandolfi, 2003; Bruno, 2007). به‌ویژه که رویدادهای سفید شدگی در مقیاس وسیع با گرم شدن کره زمین در ارتباط بوده است (Goudie, 2005; Hays et al., 2005). گرم شدن کره زمین با تکرار فزاینده آبسنگ‌های مرجانی جهان را در معرض بی‌نظمی‌های مثبت دما قرار خواهد داد (Riegl et al., 2011). در اثر افزایش دما در اقیانوس‌های جهان، میزان و مقیاس رویدادهای سفید شدن از اوایل دهه ۱۹۸۰ افزایش یافته است (Rezai et al., 2011; Riegl et al., 2010). همچنین تغییرات آب و هوایی حاکی از یک افزایش در دمای اقیانوس‌های گرمسیری است و به‌طور بالقوه رویدادهای سفید شدن را افزایش می‌دهد و بسیاری از آبسنگ‌های مرجانی را در سراسر جهان نابود می‌کند (Kavousi et al., 2014). آستانه دما برای سفید شدن میزان و درجه کاملی نیست بلکه به سایر متغیرهای زیست‌محیطی به‌ویژه نور و مدت و شدت عدول و خروج از شرایط عادی دمای یک آبسنگ وابسته است (Liu et al., 2003). البته مدت‌زمانی که این بی‌نظمی در دمای آب دوام داشته باشد نیز در فرآیند سفید شدگی مؤثر است بنابراین سفید شدن به علت فشار گرما به مناطقی که دمای آب آن‌ها معمولاً زیاد است محدود نمی‌شود، باین‌وجود مناطقی که دماهای زیادتر معیار آن‌ها است به نظر می‌رسد که احتمالاً در برابر سفید شدن فیزیولوژیکی آسیب‌پذیرتر باشند (Fitt et al., 2001). همانند جاهای دیگر جهان، دماهای آب در خلیج‌فارس به‌طور منظم و یکنواخت در حال افزایش است (sheppard, 2003) خلیج‌فارس نیز با نوسانات زیست‌محیطی زیاد و دمای بالا (بالتر از تحمل گرما برای مرجان‌های سایر نقاط دیگر جهان) به‌عنوان گرم‌ترین دریای مرجانی در جهان معروف است (Goudie, 2005; Hays et al., 2005; Sheppard, 2003). گرچه مرجان‌های خلیج‌فارس و همزیست‌های جلبکی آن‌ها با دماهای افزایش‌یافته خو گرفته‌اند، اما نتوانسته‌اند از بی‌نظمی‌های دما رهایی پیدا کنند و رویدادهای سفید شدن و مرگ‌ومیرهای گسترده را تجربه کرده‌اند. در سراسر جهان بیشترین آستانه‌های سفید شدگی در بین مرجان‌های جنوب خلیج‌فارس مشاهده می‌شود (Coles, 2003; Brown, 2003). Sheppard, 1991). باین‌وجود این مرجان‌ها هم می‌توانند قربانی سفید شدگی نیز بشوند. شواهد نشان می‌دهد که سفید شدگی با دماهای غیرمعمول از سال ۱۹۹۶ به بعد مرجان‌ها را تحت تأثیر قرار داده و به از دست رفتن اساسی پوشش‌های مرجانی خلیج‌فارس منجر شده است (Riegl, Purkis., 2015; Riegl, 2002). این واکنش به فشارهای زیستی به‌ویژه بی‌نظمی‌های دما یک تهدید جدی برای بقاء مرجان‌ها در ۳۰ تا ۵۰ سال آینده خواهد بود (Baker et al., 2008). سازگاری‌های محلی با عوامل زیست‌محیطی به‌جز دما می‌تواند تأثیرات شدیدی بر تحمل مرجان‌ها در برابر دما داشته باشد (Riegl et al., 2015).

با این وجود در حالی که همگونه‌های نزدیک مرجان‌های خلیج فارس در سایر نقاط جهان معمولاً در دماهای کمتر از ۳۲ سفید می‌شوند و می‌میرند (Coles, Riegl., 2013) اما همزیست‌های مرجان‌ها در خلیج فارس دماهای اوج تابستان را تا حداکثر ۳۶ درجه سانتی‌گراد تحمل می‌کنند (Coles, Riegl., 2013) اما نتوانسته‌اند از بی‌نظمی‌های دما رهایی پیدا کنند و رویدادهای سفید شدن و مرگ‌ومیر گسترده را تجربه کرده‌اند (Riegl et al., 2011; Coles, 2003). از سوی دیگر املاح و شوری آب خلیج فارس و میزان پایین جزر و مد به‌طور کلی وضعیت نامساعدی برای مرجان‌ها ایجاد کرده است. از این رو مرجان‌های خلیج فارس در معرض آسیب بیشتری نسبت به مرجان‌های سایر نقاط هستند. در واقع مرجان‌هایی که در خلیج فارس رشد می‌کنند سازگار شده‌اند تا در شرایط حاد به زندگی ادامه دهند (Coles, Riegl, 2013). دماهای سطح دریا (SST) نیز ثابت کرده‌اند که در مشخص کردن مناطق مشکوک به سفید شدگی آبسنگ‌های مرجانی مفید می‌باشند (Glesson, strong., 1995; Glynn, 1996). تاکنون تکنیک‌ها و روش‌های مختلفی برای مطالعه تأثیر دما بر مرگ‌ومیر مرجان‌ها و سفید شدن آن‌ها به وجود آمده و توسعه یافته از جمله استفاده از درجه گرمای هفتگی (DHW) که در این روش با توجه به بی‌نظمی‌ها و ناهنجاری‌های رخ داده در دمای سطح دریا (SST)، اقدام به پیش‌بینی سفید شدگی و مرگ‌ومیر مرجان‌ها می‌کند. این شاخص بر اساس روش‌شناسی گوریو و هایس (Goreau, Hayes., 1994) به وجود آمد و توسط گلیسون و استرانگ (Glesson, strong., 1995) توسعه پیدا کرد و سازمان ملی اقیانوسی و جوی (NOAA) برای پیش‌بینی سفید شدگی مرجان‌ها به‌طور گسترده از آن استفاده می‌کند. ون هویدونک و هوبر (Van Hooidek, Huber., 2009) اقدامی کردند تا با انتخاب آستانه‌های بهینه، روش درجه گرمای هفتگی را بهبود بخشند. از آن به بعد آن‌ها برای تعیین میزان صحت و بهبود نتایج، از روش "امتیاز مهارت پیرس" (Pearce Skill Score (PSS)) استفاده کردند. آن‌ها به این نتیجه رسیدند که آستانه بهینه برای مقادیر درجه گرمای هفتگی (DHW)، به محل بستگی دارد و برای هر منطقه مطلوب باید محاسبه شود و محاسبه آستانه DHW بهینه محلی و میزان PSS برای مناطق مختلف مورد آزمایش قرار گیرد. مطالعه مرجان‌های خلیج فارس از آنجا مهم است که حداکثر دمای آب خلیج فارس ۱ تا ۳ درجه سانتی‌گراد بیشتر از سایر اقیانوس‌های گرمسیری است (Riegl et al., 2011)؛ و این اقیانوس‌های گرمسیری در ۵۰ تا ۱۰۰ سال آینده با موقعیت کنونی خلیج فارس مواجه خواهند شد. که این امر می‌تواند به‌عنوان شاخصی برای پیش‌بینی موقعیت مرجان‌های جاهای دیگر مورد استفاده قرار گیرد (Riegl et al., 2011; sheppard, 2003). این نکته نیز قابل ذکر است که مرجان‌های نقاط شمالی خلیج فارس زمانی در معرض مرگ‌ومیر و سفید شدگی قرار می‌گیرند که دماهای سطح دریا ۳۴,۵ تا ۳۵ درجه سانتی‌گراد باشد، در حالی که این آستانه برای نواحی جنوبی خلیج فارس ۳۵ تا ۳۶ درجه سانتی‌گراد است (Kavousi et al., 2014). هدف این مطالعه بررسی پدیده سفید شدگی در جنوب خلیج فارس در یک دوره زمانی ۳۵ ساله (۲۰۱۵-۱۹۸۰) می‌باشد. همچنین با استفاده از شاخص درجه گرمای هفتگی DHW یک آستانه دمایی برای پیش‌بینی پدیده سفید شدگی (bleaching) تعیین کرده و سپس قابلیت تکنیک مهارت پیرس (PSS) را که توسط "ون هویدونک و هوبر" (Van Hooidek, Huber., 2009) و "ون هویدونک و همکاران" (Van Hooidek et al., 2012) پیشنهاد شده است را برای خلیج فارس مورد آزمایش قرار داده و به کمک آن به صحت سنجی پیش‌بینی‌ها پرداخته و نتایج به دست آمده را با نواحی شمالی خلیج فارس مقایسه کرده است.

## داده‌ها و روش کار

منطقه مورد مطالعه در جنوب خلیج فارس و بین عرض‌های جغرافیایی  $50^{\circ} 22'$  تا  $26^{\circ}$  عرض شمالی و  $51^{\circ}$  تا  $56^{\circ} 25'$  طول شرقی قرار دارد. این منطقه دارای آب‌وهوای نیمه حاره‌ای است که در اکثر فصول سال گرم و مرطوب است. تابستان‌های آن داغ و رطوبت هوا گاهی به  $100\%$  نیز می‌رسد؛ و زمستان‌های آن ملایم است. تقریباً آسمان در تمام طول سال آفتابی است. دمای هوا در تابستان به  $48$  درجه سانتی‌گراد و در زمستان به  $10$  درجه سانتی‌گراد بالای صفر می‌رسد. بارندگی، نادر و اغلب در ماه‌های زمستان و به میزان  $130$  میلی‌متر است. در پایان زمستان و نیز در طول تابستان وقوع طوفان شن معمول است ([www.thenational.ae/weather](http://www.thenational.ae/weather)). سکونتگاه‌های مرجانی متعدد و گونه‌های مرجانی مانند "آکروپورا"، "پورایت‌ها"، "فاویا"، "پلاتی‌گیرا" را می‌توان در این نواحی مشاهده کرد. همچنین در این محدوده پایش‌های منظم دمای سطح آب انجام می‌گیرد و اطلاعات جامعی از وضعیت آبسنگ‌های مرجانی وجود دارد.



شکل (۱): موقعیت منطقه مورد مطالعه

داده‌های مربوط به دمای سطح دریا: مقادیر دمای سطح آب برای سال‌های (۲۰۱۵-۱۹۸۰) از وبسایت NOAA، (<http://www.esrl.noaa.gov/psd/data/gridded/data.noaa.oisst.v2.html>) استخراج شد. این اطلاعات به صورت دمای سطح دریا (SST) به طور هفتگی است و با تفکیک مکانی  $1^{\circ} \times 1^{\circ}$  و در قالب CDF تهیه می‌شوند. اطلاعات بلندمدت مربوط به میانگین (SST) ماهانه برای محدوده مورد مطالعه برای سال‌های ۱۹۸۰ تا ۲۰۱۵ بررسی شد تا حداکثر دمای تابستان مشخص شود. در مرحله بعد مقادیر (DHW)، بر اساس مقادیر (SST) به دست آمد. این مقدار، شاخص

فشار متراکمی است که بر اساس میزان بی‌نظمی‌های مثبت هفتگی که بالاتر از حداکثر دمای دوره تابستان در ۱۲ هفته پیش از آن است، می‌باشد. "گوریو و هایز" (۱۹۹۴)<sup>۲</sup>، "ون هویدونک و هویر" (۲۰۰۹)<sup>۳</sup> و "ون هویدونک و همکاران" (۲۰۱۲)<sup>۴</sup>. آنگاه برای ارزیابی کمی روش از تکنیک مهارت پیرس استفاده شد و مقادیر PSS بر اساس معادله (۱) به دست آمد.

معادله شماره (۱) PSS= H-F

وقتی که مقادیر H به‌عنوان میزان آسیب و مقادیر F به‌عنوان میزان هشدار غلط، طبق معادله‌های (۲) و (۳) محاسبه شدند.

$$H = \frac{\text{تعداد پیش بینی صحیح مربوط به شدن سفید}}{\text{تعداد کل وقایع سفید شدن}} \quad \text{معادله (۲)}$$

$$F = \frac{\text{تعداد پیش بینی ناصحیح مربوط به شدن سفید}}{\text{تعداد کل وقایع سفید نشدن}} \quad \text{معادله (۳)}$$

مقادیر PSS همواره بین (-۱) و (+۱) است. -۱ زمانی است که تمام پیش‌بینی‌ها و پس‌بینی‌ها ناصحیح باشند و +۱ زمانی است که تمام پیش‌بینی‌ها و پس‌بینی‌ها صحیح باشند. هرچه مقدار به +۱ نزدیک باشد به معنی درستی و دقت بیشتر روش مورد استفاده است.

### شرح و تفسیر نتایج

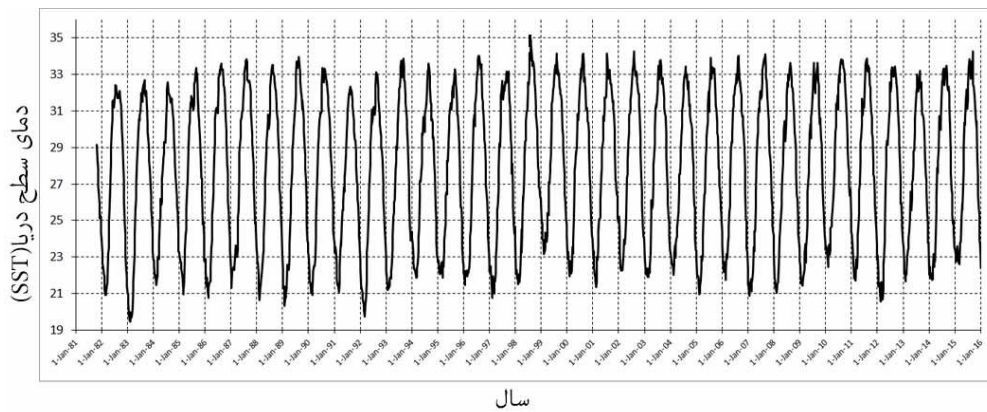
مقادیر مربوط به تغییرات دمای سطح دریا (SST) در دوره آماری مورد بررسی (۱۹۸۰-۲۰۱۵) برای نواحی جنوبی خلیج فارس در نمودار شماره (۱) آورده شده است. مقادیر DHW تعیین شده برای همان دوره آماری برای منطقه مورد مطالعه در شکل (۲) نشان داده شده است که وقایع سفید شدگی با نقاط سیاه بر روی این نمودار مشخص شده است. جدول شماره (۱) نیز وقایع سفید شدگی را که در خلیج فارس و در زمان مورد مطالعه اتفاق افتاده و منجر به مرگ و میر گسترده مرجان‌ها شده است را نشان می‌دهد.

<sup>۲</sup> - Goreau ,Hayes. 1994  
<sup>۳</sup> - Van Hooidonk ,Huber. 2009  
<sup>۴</sup> -van Hooidonk ,et al.2012

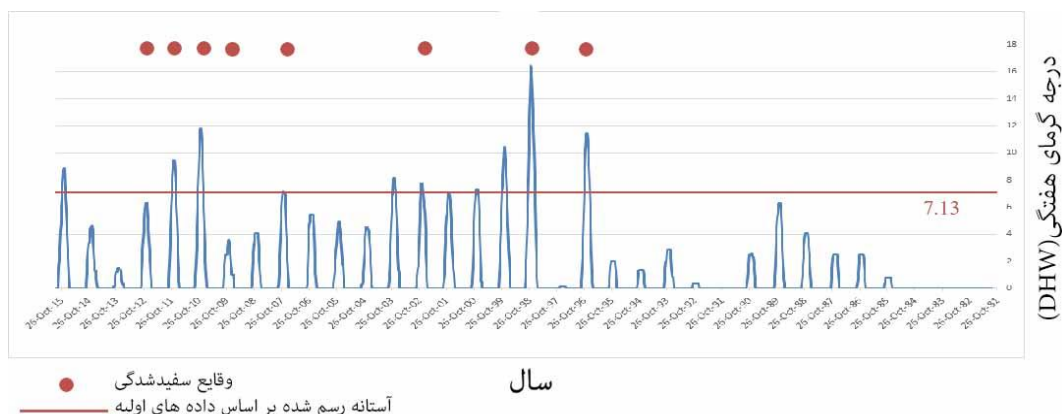
جدول (۱): وقایع ثبت شده سفید شدگی در خلیج فارس بین سال‌های (۱۹۸۰-۲۰۱۵).

مکان	سال	منبع
ابوظبی	۱۹۹۶	ریگل، ۲۰۰۲
جزیره کیش	۱۹۹۶	پیلچر و همکاران، ۲۰۰۰ فاطمی و شگری، ۲۰۰۱ ویلسون و همکاران، ۲۰۰۲
ابوظبی	۱۹۹۸	بخش ۳ GCRMN، ۲۰۰۰ پایگاه داده NOAA، ۲۰۰۲
جزیره کیش	۱۹۹۸	فاطمی و شگری، ۲۰۰۱ ویلسون و همکاران، ۲۰۰۲
جزیره کیش	۱۹۹۹	رضایی و همکاران، ۲۰۰۴
جبل علی (امارات متحده عربی)	۲۰۰۲	جان بورت، ۲۰۰۹
جزیره کیش	۲۰۰۲	رضایی و همکاران، ۲۰۰۴
ابوظبی	۲۰۰۷	دانشگاه دبی
جزیره کیش	۲۰۰۷	ویلکینسون، ۲۰۰۸ کبیری و همکاران، ۲۰۱۲-۲۰۱۳
دبی	۲۰۰۹	جان بورت، ۲۰۰۹
ابوظبی	۲۰۱۰	ریگل، ۲۰۱۱
ابوظبی	۲۰۱۱	ریگل، ۲۰۱۲
ابوظبی	۲۰۱۲	ریگل، ۲۰۱۵

منبع: نویسندگان

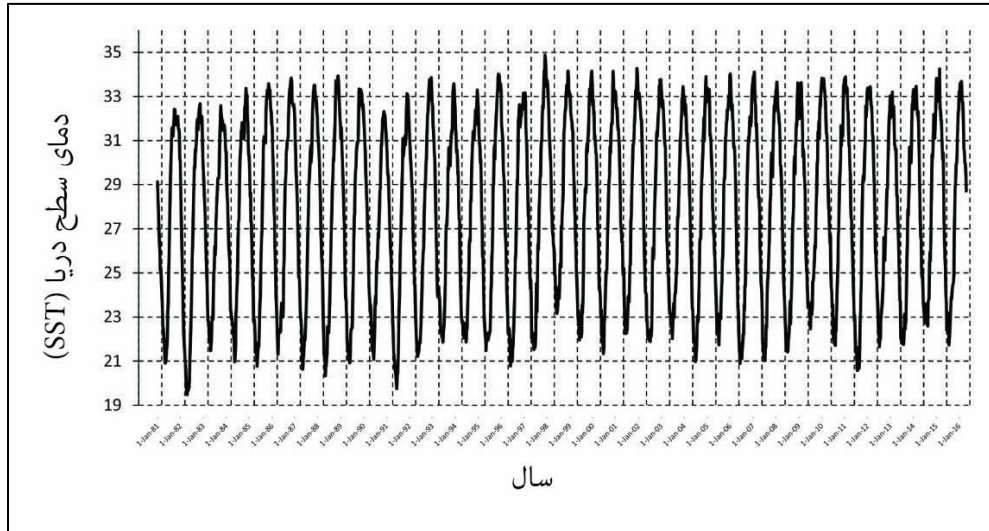


شکل (۲): تغییرات دمای سطح دریا SST جنوب خلیج فارس (۱۹۸۰-۲۰۱۵). (منبع: نویسندگان)

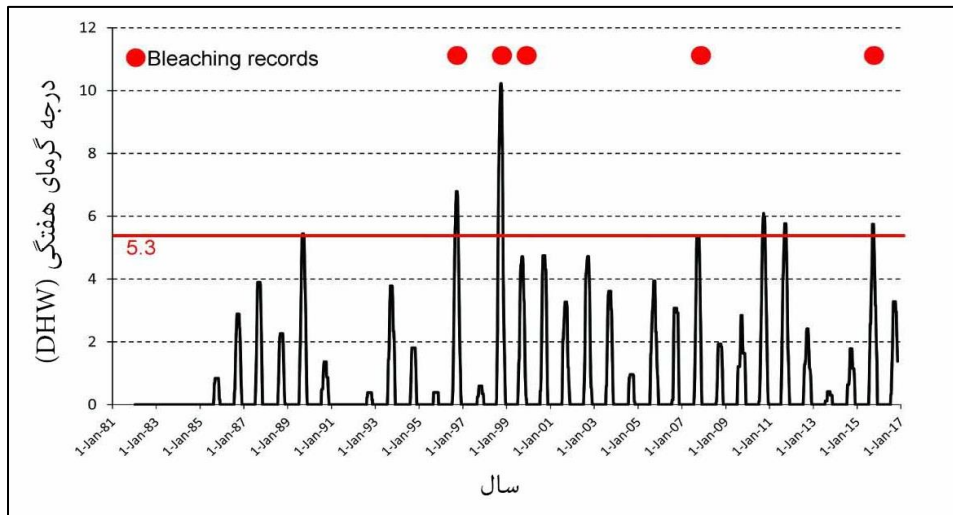


شکل (۳): مقادیر درجه گرمای هفتگی (DHW) جنوب خلیج فارس (۱۹۸۰-۲۰۱۵). (منبع: نویسندگان)

تغییرات مقادیر دمای سطح دریا (SST) بین سال‌های (۱۹۸۰ تا ۲۰۱۵) برای منطقه مورد مطالعه در جنوب خلیج فارس در نمودار شماره (۱) نشان داده شده و مقادیر (DHW) تعیین شده برای همان دوره زمانی در نمودار شماره (۲) مشخص شده است. طی ۳۵ سال مشاهده دمای سطح دریا (SST)، بیشترین میزان هفتگی، برای هفته ختم شده به ۱۶ اوت ۱۹۹۸ و تقریباً ۳۵٫۵ درجه سانتی‌گراد ثبت شده است و میزان (DHW) نیز در این تاریخ، ۱۶٫۳ بالاترین میزان گرمای مثبت و قطعی برای سال ۱۹۹۸ بوده است. طبق نمودار مربوط به مقادیر درجه گرمای هفتگی (DHW) بیشترین مقادیر آن را می‌توان برای سال‌های ۱۹۹۶، ۱۹۹۸، ۲۰۰۲، ۲۰۰۷، ۲۰۰۹، ۲۰۱۰، ۲۰۱۱، ۲۰۱۲ مشاهده کرد؛ که با وقوع پدیده‌های سفید شدگی در این سال‌ها مطابقت دارد. از سوی دیگر کمترین مقدار آن صفر ۰ و برای سال‌های ۱۹۸۲، ۱۹۸۳، ۱۹۸۴، ۱۹۹۱، ۱۹۹۲ است. با توجه به پس‌بینی‌ها، برای تمام سال‌هایی که سفید شدگی اتفاق افتاده است به جز سال ۲۰۱۲، امتیاز ۷٫۱۳ برای (DHW) تعلق گرفت این میزان به‌عنوان "میزان آستانه" در نظر گرفته شد. و بر اساس کمترین (DHW) وقایع سفید شدن تعیین می‌شود به‌طوری‌که تمام وقایع صحیح و ثبت شده سفید شدن و مرگ‌ومیر را شامل شود. لذا هرگاه آستانه (DHW) به این عدد نزدیک یا بیشتر باشد احتمال وقوع مرگ‌ومیر در مرجان‌ها را باید انتظار داشت. اگرچه برای سال‌های ۱۹۹۹، ۲۰۰۰، ۲۰۰۳، ۲۰۱۵، مقادیر بیشتر از این آستانه وجود دارد اما گزارشی مبتنی بر ثبت سفید شدگی یافت نشد. در منطقه مورد مطالعه (جنوب خلیج فارس) طبق معادله  $PSS=H-F$ ، که مقادیر  $H=7/8=0/87$  برای میزان آسیب و  $F=4/26=0/15$  برای میزان هشدار غلط سفید شدگی محاسبه شد، مقدار PSS برابر ۰/۷۲ برای نواحی جنوبی خلیج فارس به دست آمد.



شکل (۴): تغییرات دمای سطح دریا SST شمال خلیج فارس (۱۹۸۰-۲۰۱۴). (کبیری و همکاران ۲۰۱۴)



شکل (۴): مقادیر درجه گرمای هفتگی (DHW) شمال خلیج فارس (۱۹۸۰-۲۰۱۴). (کبیری و همکاران ۲۰۱۴).

مقادیر مربوط به تغییرات دمای سطح دریا (SST) در دوره آماری مورد بررسی ۱۹۸۰-۲۰۱۴ برای نواحی شمالی خلیج فارس در نمودار شماره (۳) آورده شده است. مقادیر (DHW) تعیین شده برای همان دوره آماری برای منطقه شمالی خلیج فارس نیز در نمودار شماره (۴) نشان داده شده است و وقایع سفید شدگی با نقاط سیاه بر روی این نمودار مشخص شده است. تغییرات دمای سطح دریا (SST) برای نواحی شمال خلیج فارس که در نمودار شماره (۳) نشان داده شده است همچنین با توجه به جدول شماره (۱)، در سال‌های ۱۹۹۶-۱۹۹۸-۱۹۹۹-۲۰۰۷-۲۰۰۲، در شمال خلیج فارس مرجان‌ها در معرض مرگ و میر گسترده و سفید شدن قرار گرفتند که بیشترین بی‌نظمی‌های مثبت دمایی نیز در این سال‌ها رخ داده است به طوری که بیشترین میزان بی‌نظمی هفتگی در (SST)، در هفته ختم شده به ۶ اوت ۱۹۹۸ و دمای ۳۵ درجه سانتی‌گراد بوده است مقدار (DHW) آن برابر ۱۰ است که بیشترین مقدار بی‌نظمی مثبت ثبت شده برای شمال خلیج فارس می‌باشد و حداقل مقدار بی‌نظمی‌های مثبت دما نیز برای سال‌های ۱۹۸۲-۱۹۸۴-۱۹۹۱ تعیین شد که در نمودار شماره (۴) قابل مشاهده می‌باشد. اگرچه در برخی از سال‌ها مانند ۲۰۱۰ و ۲۰۱۱ میزان آستانه، مقادیر



بیشتری را نشان می‌دهد اما مرگ‌ومیر گسترده‌ای در شمال خلیج فارس دیده نشد. در منطقه مورد مطالعه (شمال خلیج فارس) طبق معادله  $PSS=H-F$ ، که مقادیر  $H=3/4=0/75$  و  $F=3/23=0/13$  برای میزان آسیب و  $F=3/23=0/13$  برای میزان هشدار غلط سفید شدگی محاسبه شد، مقدار PSS برابر  $0/62$  برای نواحی شمالی خلیج فارس مشخص شد و مقدار آستانه DHW برابر  $5/3$  است که توسط کبیری و همکاران (۲۰۱۴) به دست آمده است.

### نتیجه‌گیری

با توجه به مقادیر به دست آمده از بررسی‌های دمای سطح دریا (SST) و دماهای هفتگی استخراج شده از آن‌ها، نشان‌دهنده مقاومت بیشتر مرجان‌های نواحی جنوبی خلیج فارس نسبت به دماهای بالاتر آب و تحمل بیشتر آن‌ها در برابر تغییرات (DHW) و بی‌نظمی‌های مثبت دمای سطح دریا (SST)، در مقایسه با مرجان‌های شمال خلیج فارس است. این امر را می‌توان از آستانه‌ی (DHW) به دست آمده برای جنوب خلیج فارس که  $7/13$  می‌باشد و آستانه (DHW) مربوط به شمال خلیج فارس که  $5/3$  است، دریافت و چون مقادیر PSS برای هر دو ناحیه خلیج فارس (شمال و جنوب) به  $1+$  نزدیک است، صحت و درستی روش‌شناسی بکار رفته را برای تعیین این آستانه بیان می‌کند.

همان‌گونه که مطالعه (SST) ها در دوره مورد بررسی نشان می‌دهند، مرجان‌های جنوبی خلیج فارس، دماهای  $35/5$  درجه سانتی‌گراد را تحمل کرده و قادر به زندگی می‌باشند در حالی که این دما برای مرجان‌های شمال خلیج فارس  $35$  درجه سانتی‌گراد است و این مقادیر دمای سطح دریا به عنوان آستانه دمایی برای احتمال بروز پدیده سفید شدگی و مرگ مرجان‌ها در نواحی مورد مطالعه می‌باشند. اگرچه برخی گونه‌های مرجانی خلیج فارس، دماهای بالاتر از این مقادیر را به راحتی تحمل کرده و قادر به ادامه زندگی هستند، ولی برخی دیگر از گونه‌ها، در برابر این دماها بسیار حساس بوده و از خود واکنش نشان می‌دهند. نکته دیگر اینکه مقادیر درجه گرمای هفتگی (DHW) در کنار SST می‌تواند به شکل کامل‌تر و دقیق‌تر به پیش بینی پدیده سفید شدگی مرجان‌ها کمک می‌کند.

### منابع

- Baker, A.C.; P.W. Glynn, and B. Riegl. 2008. Climate change and coral reef bleaching: an ecological assessment of long-term impacts, recovery trends and future outlook. *Estuar, Coast and Shelf Science*. **80**: 435–471.
- Baker, A.C.; C.J. Starger, T.R. McClanahan, and P.W. Glynn. 2004. Coral reefs: corals' adaptive response to climate change. *Nature* **430**: 741.
- Berkelmans, R.; M.J.H. van Oppen. 2006. The role of zooxanthellae in the thermal tolerance of corals: a 'nugget of hope' for coral reefs in an era of climate change. *Proceeding of the Royal Society B – Biological Sciences*. **273**: 2305–2312.
- Burt, J.; A. Bartholomew, and P. Usseglio. 2008. Recovery of corals a decade after bleaching in Dubai, United Arab Emirates. *Marine Biology*. **154**: 27–36.
- Coles, S.L.; Y. Fadlallah. 1991. Reef coral survival and mortality at low temperatures in the Persian Gulf: new species-specific lower temperature limits. *Coral Reefs* **9**: 231–237.
- Coles, S.L.; 1997. Reef corals occurring in a highly fluctuating temperature environment at Fahal Island, Gulf of Oman (Indian Ocean). *Coral Reefs* **16**: 269–272.
- Coles, S.L.; 2003. Coral species diversity and environmental factors in the Persian Gulf and the Gulf of Oman: a comparison to the Indo-Pacific region. *Atoll Research Bulletin*. **507**: 1–19.
- Coles, S.L.; B. E. Brown. 2003. Coral bleaching - Capacity for acclimatization and adaptation. *Advances in Marine Biology*. **46**: 183–223.

- Coles, S.L.; B.M. Riegl. 2013. Thermal tolerances of reef corals in the Gulf: A review of the potential for increasing coral survival and adaptation to climate change through assisted translocation. *Marine Pollution Bulletin Marine* **72**: 323-332.
- Fitt, W.; B. Brown, M. Warner, and R. Dunne. 2001. Coral bleaching: interpretation of thermal tolerance limits and thermal thresholds in tropical corals. *Coral Reefs* **20**: 51-65.
- Gleeson, M.; A. Strong. 1995. Applying MCSST to coral reef bleaching. *Advances in Space Research* **16**: 151-154.
- Glynn, P.; 1993. Coral reef bleaching: ecological perspectives. *Coral Reefs* **12**: 1-17.
- Glynn, P.W.; 1996. Coral reef bleaching: facts, hypotheses and implications. *Global Change Biology* **2**: 495-509.
- Goreau, T.J.; R.L. Hayes. 1994. Coral bleaching and ocean "hot spots". *Ambio-Journal of Human Environment Research and Management* **23**: 176-180.
- Kabiri, K.; M. Moradi. 2014. Historical Remotely Sensed Sea Surface Temperature Data for Prediction of Coral Bleaching Event in Kish Island, the Persian Gulf. *Journal of the Persian Gulf*, Vol. **5**: 50-55
- Kavousi, J.; P. Tavakoli-Kolour, M. Mohammadzadeh, A. Bahrami, and A. Barkhordari. 2014. Mass coral bleaching in the northern Persian Gulf.
- Lesser, M.P.; 2006. Oxidative stress in marine environments: biochemistry and physiological ecology. *Annual Review of Physiology*. **68**: 253-278.
- Mostafavi, P.G.; S.M.R. Fatemi, M.H. Shahhosseiny, O. Hoegh-Guldberg, and W.K.W. Loh. 2007. Predominance of clade D Symbiodinium in shallow-water reef-building corals off Kish and Larak Islands (Persian Gulf, Iran). *Marine Biology* **153**: 25-34.
- Peirce, C.S.; 1884. The numerical measure of the success of predictions. *Science*, **453**: 454
- Pilcher, N.; S. Wilson, S. Alhazeem, and M. Shokri. 2000. Status of coral reefs in the Persian Gulf and Arabian Sea Region (Middle East). *Status of Coral Reefs of the World*, 55-64.
- Purkis, S.J.; G.P. Rowlands, B.M. Riegl, and P. G. Renaud. 2010. The paradox of tropical karst morphology in the coral reefs of the arid Middle East. *Geology* **38**: 227-230.
- Rezai, H.; K. Samimi, K. Kabiri, E. Kamrani, M. Jalili, and M. Mokhtari. 2010. Distribution and abundance of the corals around Hengam and Farurgan islands, the Persian Gulf. *Journal of the Persian Gulf* **1**: 7-16.
- Rezai, H.; S. Wilson, M. Claereboudt, and Riegl, B. 2004. Coral reef status in the ROPME sea area: Persian Gulf, Gulf of Oman and Arabian Sea. *Status of Coral Reefs of the World* **1**: 155-170.
- Riegl, B.; 2002. Effects of the 1996 and 1998 positive sea-surface temperature anomalies on corals, coral diseases and fish in the Arabian Gulf (Dubai, UAE). *Marine Biology*. **140**, 29-40.
- Riegl, B.M.; S.J. Purkis, A.S. Al-Cibahy, M.A. Abdel-Moati, and O. Hoegh-Guldberg. 2011. Present limits to heat-adaptability in corals and population-level responses to climate extremes. *PLoS One* **6**: e24802.
- Riegl, B.M.; S.J. Purkis. 2012. Coral reefs of the gulf: Adaptation to climatic extremes in the world's hottest sea. *Coral Reefs of the Gulf*: pp. 1-4.
- Riegl, B.; S. Purkis. 2015. Coral population dynamics across consecutive mass mortality events. *Global Change Biology*. **21**: 3995-4005.
- Riegl, B.; P.W. Glynn, E. Wieters, S. Purkis, C. d'Angelo, and J. Wiedenmann. 2015. Water column productivity and temperature predict coral reef regeneration across the Indo-Pacific. *Scientific Reports*. **5**: 8273.
- Riegl, B.M.; S.J. Purkis, A.S. Al-Cibahy, M.A. Abdel-Moati, and O. Hoegh-Guldberg. 2011. Present limits to heat-adaptability in corals and population-level responses to climate extremes. *PLoS One* **6**: e24802.
- Riegl, B.M.; S.J. Purkis, A.S. Al-Cibahy, S. Al-Harathi, E. Grandcourt, K. Al-Sulaiti, C.R. Sheppard. 2003. Predicted recurrences of mass coral mortality in the Indian Ocean. *Nature* **425**: 294-297.

- Sheppard, C.R.; R. Loughland. 2002. Coral mortality and recovery in response to increasing temperature in the southern Arabian Gulf. *Aquatic. Ecosyst. Health Managment*. **5**: 395–402.
- Van Hooidek, R.; M. Huber. 2009. Quantifying the quality of coral bleaching predictions. *Coral Reefs*, **28**: 579-587.
- van Hooidek, R.; D.P. Manzello, J. Moye, M.E. Brandt, J.C. Hendee, C.McCoy, and C. Manfrino. 2012. Coral bleaching at Little Cayman, Cayman Islands 2009. *Estuarine, Coastal and Shelf Science* **106**: 80-84.
- Wilson, S.; S.M.R. Fatemi, M.R. Shokri, and M. Claereboudt. 2002. Status of coral reefs of the Persian Gulf and Arabian Sea region. *Status of Coral Reefs of the World*, 53-62.

